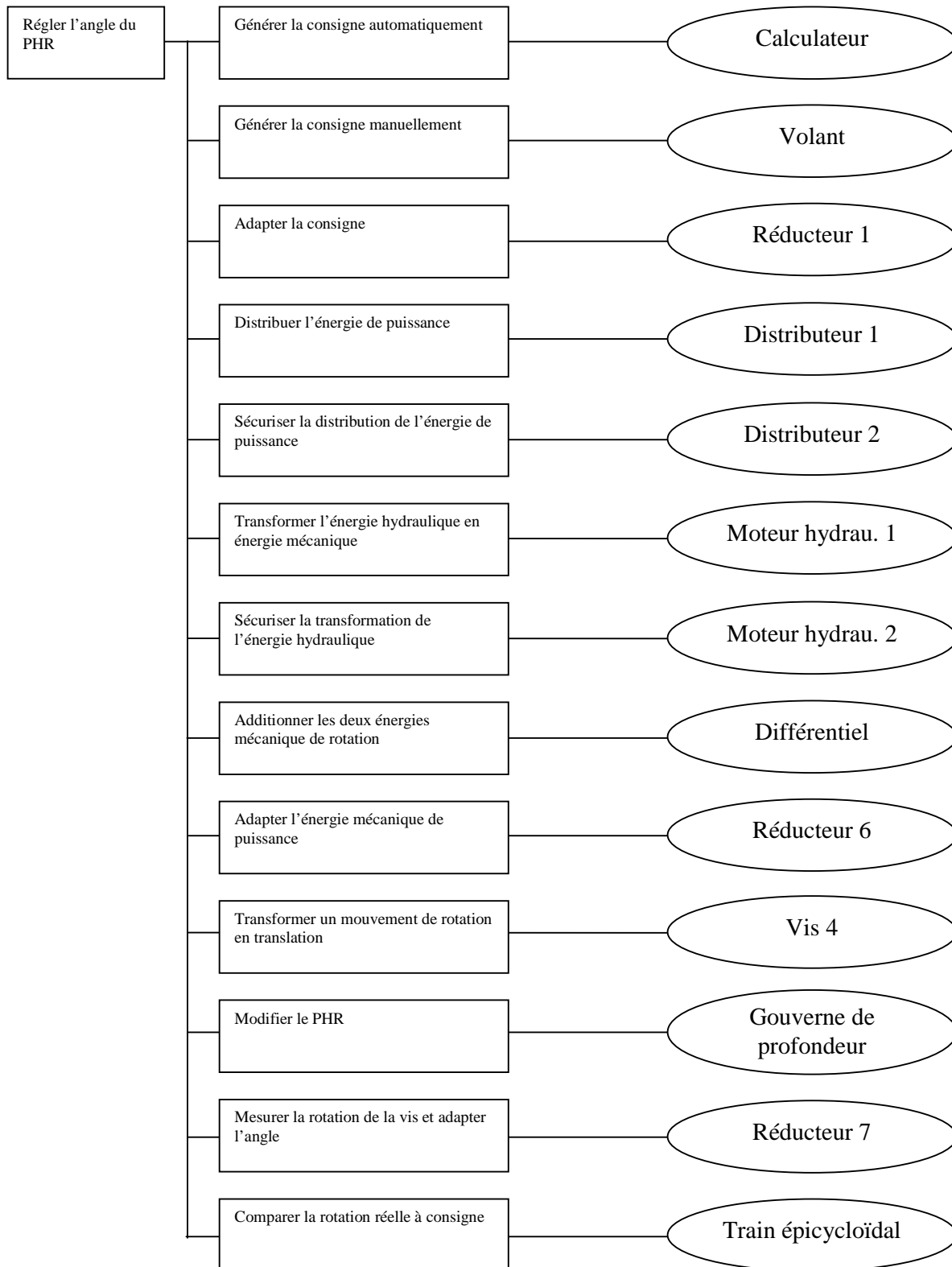
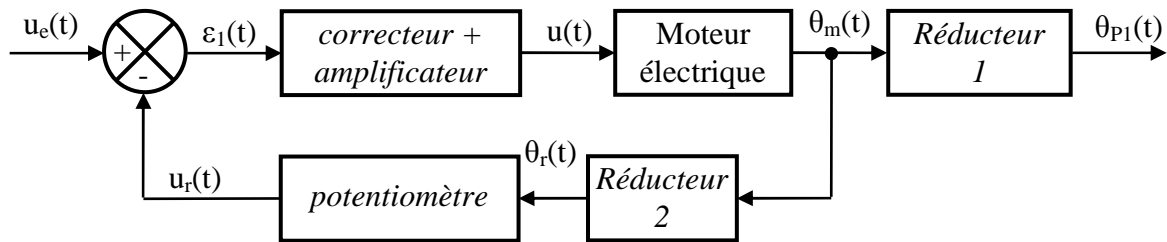


## Etude du plan horizontal réglable (PHR) de l'Airbus A340 - Corrigé

**Q.1.**



**Q.2.**



**Q.3.** La réponse possède une tangente à l'origine non nulle et tend vers une valeur finie, il s'agit donc de la réponse indicielle d'un système du 1<sup>er</sup> ordre.

On suppose ainsi que la fonction de transfert liant la tension aux bornes du moteur à la vitesse de rotation de son arbre de sortie peut être modélisée par un 1<sup>er</sup> ordre de gain statique K et de constante de temps T.

Pour déterminer K, on mesure la valeur finale 250 rad/s et on sait que c'est égale à K.U, donc K=50 rad/s/V.

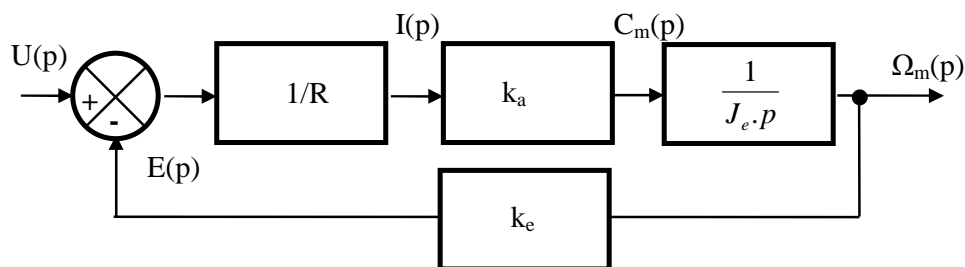
Pour déterminer T, on a 3 méthodes à notre disposition. Etant donné le bruit de fin de mesure, on choisit de prendre la méthode à 63% : à 63% de la VF, on est à  $t=T$  d'où  $T=0.01s$ . On peut également faire la méthode de la tangente à l'origine qui vaut  $K.U/T$ , et on obtient 0,009s.

**Q.4.**  $u(t) = e(t) + R.i(t) \quad \rightarrow \quad U(p) = E(p) + R.I(p)$

$e(t) = k_e.\omega_m(t) \quad \rightarrow \quad E(p) = k_e.\Omega_m(p)$

$J_e \cdot \frac{d\omega_m(t)}{dt} = C_m(t) \quad \rightarrow \quad J_e \cdot p \Omega_m(p) = C_m(p)$

$C_m(t) = k_a.i(t) \quad \rightarrow \quad C_m(p) = k_a.I(p)$

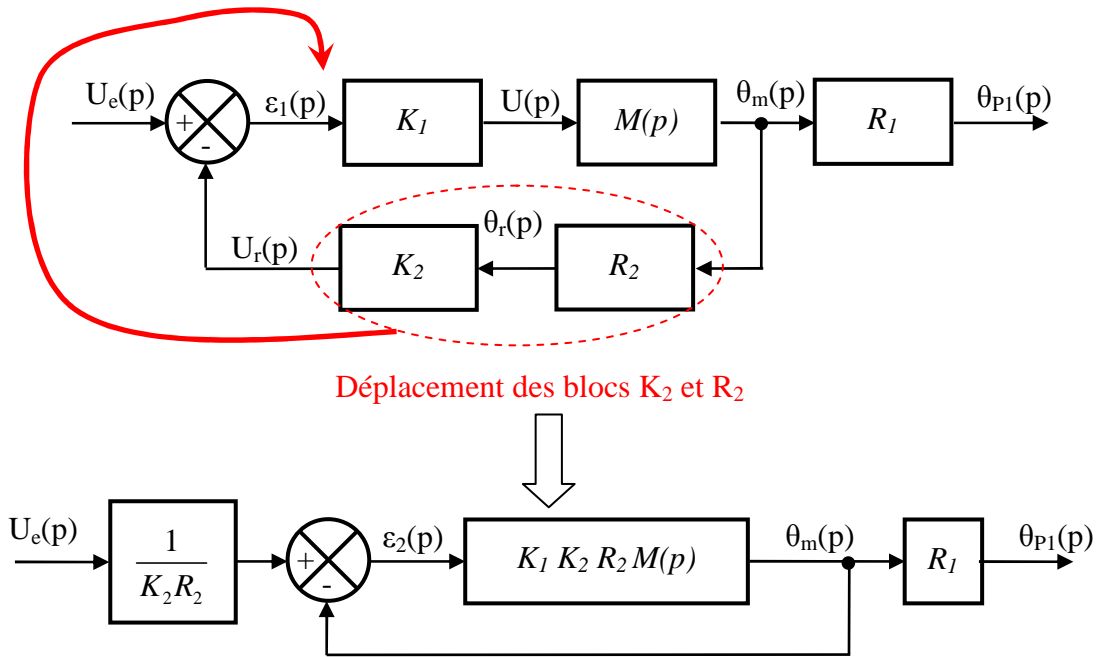


$$\frac{\Omega_m(p)}{U(p)} = \frac{1}{k_e} \cdot \frac{\frac{k_a \cdot k_e}{R \cdot J_e \cdot p}}{1 + \frac{k_a \cdot k_e}{R \cdot J_e \cdot p}} = \frac{1}{k_e} \cdot \frac{k_a \cdot k_e}{R \cdot J_e \cdot p + k_a \cdot k_e} = \frac{1}{k_e} \cdot \frac{1}{1 + \frac{R \cdot J_e}{k_a \cdot k_e} \cdot p} = \frac{K_m}{1 + \tau_m \cdot p}$$

$\Omega_m(p) = p \cdot \theta_m(p)$  d'où  $M(p) = \frac{\theta_m(p)}{U(p)} = \frac{K_m}{p \cdot (1 + \tau_m \cdot p)}$

**Q.5.**  $K_m = \frac{1}{k_e}$  et  $\tau_m = \frac{R \cdot J_e}{k_a \cdot k_e}$

**Q.6.** Application numérique :  $K_m = 50 \text{ rad}/(\text{V} \cdot \text{s})$  et  $\tau_m = 0,01s$ .

**Q.7.**

$$\text{Q.8. } T(p) = \frac{\theta_m(p)}{\varepsilon_2(p)} = K_1 \cdot K_2 \cdot R_2 \cdot M(p) = \frac{K_1 \cdot K_2 \cdot R_2 \cdot K_m}{p \cdot (1 + \tau_m \cdot p)} = \frac{K_{BO}}{p \cdot (1 + \tau_m \cdot p)}$$

Avec  $K_{BO} = K_1 \cdot K_2 \cdot R_2 \cdot K_m$ 

$$\text{Q.9. } F(p) = \frac{\theta_{P1}(p)}{U_e(p)} = \frac{1}{K_2 \cdot R_2} \cdot \frac{\frac{K_{BO}}{p \cdot (1 + \tau_m \cdot p)}}{1 + \frac{K_{BO}}{p \cdot (1 + \tau_m \cdot p)}} \cdot R_1 = \frac{R_1}{K_2 \cdot R_2} \cdot \frac{K_{BO}}{p \cdot (1 + \tau_m \cdot p) + K_{BO}} = \frac{\frac{R_1}{K_2 \cdot R_2}}{1 + \frac{1}{K_{BO}} \cdot p + \frac{\tau_m}{K_{BO}} \cdot p^2}$$

$$\text{Q.10. } K_{BF} = \frac{R_1}{K_2 \cdot R_2}$$

$$\frac{1}{\omega_0^2} = \frac{\tau_m}{K_{BO}} \rightarrow \omega_0 = \sqrt{\frac{K_{BO}}{\tau_m}}$$

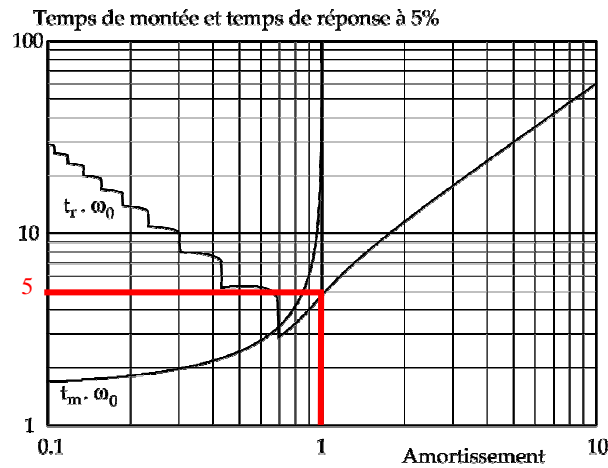
$$\frac{2 \cdot z}{\omega_0} = \frac{1}{K_{BO}} \rightarrow z = \frac{1}{2} \cdot \frac{\omega_0}{K_{BO}} \rightarrow z = \frac{1}{2} \cdot \frac{1}{\sqrt{K_{BO} \cdot \tau_m}}$$

**Q.11.** Réponse à une entrée de type échelon la plus rapide possible sans toutefois produire de dépassement  $\rightarrow z = 1 \rightarrow 4 \cdot K_{BO} \cdot \tau_m = 1 \rightarrow K_{BO} = \frac{1}{4 \cdot \tau_m} = 25 \text{ s}^{-1}$

$$\text{Q.12. Par définition } e_r = \lim_{p \rightarrow 0} p \cdot E(p) \cdot \frac{1}{1 + FTBO} \text{ avec FTBO : } T(p) = \frac{K_{BO}}{p \cdot (1 + \tau_m \cdot p)}$$

$\rightarrow$  FTBO de classe 1  $\rightarrow$  erreur statique  $e_r = 0$ . Le système est précis.

$$\text{Q.13. Graphiquement on lit pour } z = 1, t_{5\%} \cdot \omega_0 \approx 5 \rightarrow t_{5\%} \cdot \sqrt{\frac{K_{BO}}{\tau_m}} \approx 5 \rightarrow t_{5\%} \approx 0,1 \text{ s}$$



**Q.14.** On a  $l = 0,6\text{m}$  et  $p_v = 10\text{mm} \rightarrow N_v = \frac{1}{p_v} = \frac{0,6}{0,01} = 60$  tours.

**Q.15.**  $\frac{N_{p1}}{N_v} = \frac{1}{5} \rightarrow N_{p1} = \frac{N_v}{5} = \frac{60}{5} = 12$  tours.

**Q.16.**  $R_1 = \frac{1}{150} \rightarrow N_m = 150 \cdot N_{p1} = 150 \times 12 = 1800$  tours.

**Q.17.**  $N_m = 1800$  tours et  $N_r = 10 \rightarrow R_2 = \frac{10}{1800} = \frac{1}{180}$ .

```

    graph RL
      theta_m((θm(p))) --> R2[R2]
      R2 --> K2[K2]
      K2 --> U_r((Ur(p)))
      K2 --> theta_r((θr(p)))
  
```

**Q.18.** 10 tours  $\rightarrow 20 \cdot \pi$  rad et l'entendue de mesure est de 24V  $\rightarrow K_2 = \frac{24}{20 \cdot \pi} = 0,382$  V/rad.

**Q.19.**  $K_{BO} = K_1 \cdot K_2 \cdot R_2 \cdot K_m = 25 \text{ s}^{-1} \rightarrow K_1 = \frac{K_{BO}}{K_2 \cdot R_2 \cdot K_m} \rightarrow K_1 = \frac{25}{0,382 \times \frac{1}{180} \times 50} = 235,6$  (sans unité).

**Q.20.** Par définition  $e_r = \lim_{p \rightarrow 0} p \cdot E(p) \cdot \frac{1}{1 + FTBO}$  avec  $T(p) = \frac{K_{BO}}{p \cdot (1 + \tau_m \cdot p)}$  et  $E(p) = \frac{1}{K_2 \cdot R_2} \cdot \frac{1}{p^2}$

$\rightarrow$  erreur de trainage :  $e_r = \lim_{p \rightarrow 0} p \cdot \frac{1}{K_2 \cdot R_2} \cdot \frac{1}{p^2} \cdot \frac{1}{1 + \frac{K_{BO}}{p \cdot (1 + \tau_m \cdot p)}}$   $\rightarrow$  FTBO de classe 1  $\rightarrow e_r = \frac{1}{K_{BO} \cdot K_2 \cdot R_2}$

$\rightarrow$  erreur non nulle  $\rightarrow$  C.d.C.F. non respecté.